

اثر فرضیات سخت شدگی چرخه‌یی فولاد در رفتار اتصالات فولادی

سجاد صادفی دزکی (دانشجوی کارشناسی ارشد)

شرف شاهبیک^{*} (استادیار)

دانشکده‌ی مهندسی عمران، دانشگاه تربیت مدرس

امروزه مهندسان به منظور بررسی رفتار چرخه‌یی سازه‌ها و اجزاء سازه‌یی فولادی از فرضیه‌های مختلف سخت شدگی خمیری در مدل رفتاری فولاد استفاده می‌کنند، که اغلب آن‌ها با ساده‌شدنگی‌های قابل توجهی همراه است. از سوی دیگر، نتایج آزمایشگاهی نشان می‌دهند که سخت شدگی فولاد ترکیبی غیرخطی و به نسبت پیچیده از دو نوع سخت شدگی پویا و همسان‌گرد است. از این رو در این نوشتار سعی شده است تا میزان اثرگذاری فرضیات مختلف سخت شدگی چرخه‌یی فولاد در برآوردهای تحلیل‌های عددی بررسی شود. براساس این هدف، یک اتصال فولادی خمیری انتخاب و پاسخ آن تحت دو نوع بارگذاری لرزه‌یی دور و نزدیک گسل برای ۶ نوع فرضیه‌ی سخت شدگی و ۶ نوع فولاد با ویژگی خمیری متفاوت استخراج شده است. نتایج حاصل برای کمیت‌های مقاومت، ظرفیت جذب انرژی و زمان شروع ترک مورد مقایسه و ارزیابی قرار گرفته‌اند.

sajad.sadeghi@modares.ac.ir
shahbeyk@modares.ac.ir

واژگان کلیدی: مدل خمیری، بارگذاری چرخه‌یی، سخت شدگی ترکیبی، سخت شدگی پویا، سخت شدگی همسان‌گرد.

۱. مقدمه

واسته‌اند و مهم‌تر آن که ترکیب این دو نیز ماهیت غیرخطی دارد. بنایابین برای درنظرگرفتن این اثرات در شبیه‌سازی‌های عددی باید یک مدل ساختاری^۱ مناسب و تا حد ممکن دقیق به کار رود. تاکنون روش‌های متنوعی برای توصیف رفتار خمیری مواد در بارگذاری چرخه‌یی تدوین و ارائه شده است، که از آن میان می‌توان به مدل‌های کلاسیک سخت شدگی خمیری، چندسطوحی^۲، دوستطوحی^۳ و اندوکرونیک^۴ اشاره کرد. رویکرد کلی برای نیل به چنین معادلات رفتاری تحت اثر بارگذاری چرخه‌یی به این شرح است:^[۱]

- مشاهده‌ی پاسخ ماده در حالت بارگذاری رفت و برگشتی تک محوری و رسم منحنی تنش - کرنش.

شناخت دقیق بارهای واردہ به سازه‌ها و نحوه عملکرد مصالح به‌کار رفته تحت این بارها، گام‌های جباتی در جهت نیل به طراحی این و اقتصادی است. از انواع مهم بارهایی که سازه‌ها متحمل می‌شوند، می‌توان به بار زلزله، باد و ماشین‌آلات مکانیکی اشاره کرد، که ماهیت چرخه‌یی^۱ دارند. در عمل ملاحظات اقتصادی اجازه نمی‌دهد که سازه‌ها به گونه‌یی طراحی شوند که رفتار تمام بخش‌های آن‌ها تحت بارهای اعمالی در محدوده ارجاعی باقی بمانند. از این رو است که آین‌نامه‌های طراحی این امکان را به سازه‌می‌دهند تا با انجام تعییرشکل‌های خمیری و بگشست ناپذیر، ظرفیت شکل‌بزیری موردنیاز را تأمین کنند. در نتیجه آگاهی از رفتار مصالح در محدوده ارجاعی در پیش‌بینی عملکرد سازه‌ها دارای اهمیت ویژه است.

- فرمول‌بندی معادلات رفتاری، که در برگیرنده‌ی اجراء اساسی پاسخ تک محوری باشد.
- تعیین متغیرهای مدل (کالیبراسیون) از نتایج آزمایش‌های تک محوری.
- تعیین مدل به حالت بارگذاری چندمحوری به کمک مفهوم تنش و کرنش مؤثر. هر چند هر کدام از این رویکردها مزایا و محدودیت‌های خاص خود را دارند، مدل‌های کلاسیک سخت شدگی خمیری کاربرد بیشتری در مسائل کاربردی و مهندسی دارند و در اغلب نرم‌افزارهای اجزاء محدود عرضه شده‌اند. لذا در این پژوهش تمرکز اصلی بر روی این دسته از مدل‌های رفتاری است.

مطالعات آزمایشگاهی نشان می‌دهد که فولاد، به عنوان پرمصرف‌ترین فلز مورد استفاده در انواع سازه‌ها، رفتاری وابسته به چرخه‌ی بارگذاری دارد.^[۱] این وابستگی به صورت ترکیبی از سخت شدگی کرنشی^۲ پویا^۳ و همسان‌گرد^۴ است، یعنی با واردشدن به ناحیه‌ی غیرارتجاعی و تجریبه‌ی کرنش‌های خمیری، سطح تسلیم فولاد در فضای تنش‌های اصلی تغییر مکان و تغییر اندازه می‌دهد. نکته‌ی بسیار مهم آن است که هر کدام از این بخش‌های سخت شدگی خود به صورت غیرخطی به کرنش‌های خمیری

* نویسنده مسئول
تاریخ: دریافت ۲۶/۱۲/۱۳۹۱، اصلاحیه ۱۲/۶/۱۳۹۲، پذیرش ۲۳/۶/۱۳۹۲.

مدل ترکیبی سخت شدگی همسان گرد و پویایی چاپوچی کاربرد بیشتری در نرم افزارهای تجاری دارند، که از این میان مدل ترکیبی چاپوچی می تواند تمام ویژگی های فولاد در بارگذاری چرخه بی را با دقت مناسبی پیش بینی کند. بنابراین نتایج این مدل در این پژوهش به عنوان مرجع مقایسه انتخاب شده است.

۱.۲. سخت شدگی همسان گرد

بیشتر فلزات به واسطهٔ تغییر شکل خمیری سخت می شوند. به عبارت دیگر، با افزایش تغییر شکل خمیری، تنش قابل تحمل ماده افزایش می یابد. در غالب موارد این افزایش، تابعی از کرنش خمیری تجمعی^{۱۴} (کرنش خمیری مؤثر) است، که به صورت رابطهٔ ۱ محاسبه می شود:

$$\varepsilon_e^p = \int d\varepsilon_e^p \quad (1)$$

که در آن، $d\varepsilon_e^p$ از رابطهٔ ۲ به دست می آید:

$$d\varepsilon_e^p = \sqrt{\frac{2}{3} (d\varepsilon^p : d\varepsilon^p)} \quad (2)$$

^{۱۵} تانسور کرنش خمیری در مدل سخت شدگی همسان گرد فرض می شود که پس از وقوع تسلیم با ادامهٔ جریان خمیری، اگر تنش افزایش یابد، با توجه به برقراری شرط سارگاری، باید سطح تسلیم به صورت یکنواخت توسعه یابد، که مقدار این افزایش تابعی از کرنش خمیری تجمعی است. به بیان ریاضی سطح تسلیم به صورت رابطهٔ ۳ خواهد بود:

$$F = f(\sigma) - \sigma_0 (\varepsilon_e^p) = 0 \quad (3)$$

که در آن σ ، تانسور تنش و (ε_e^p) معرف اندازهٔ سطح تسلیم در هر لحظه است و به صورت رابطهٔ ۴ تعریف می شود:^{۱۶}

$$\sigma_0 (\varepsilon_e^p) = \sigma_y + r (\varepsilon_e^p) \quad (4)$$

که در آن، σ_y بیانگر اندازهٔ سطح تسلیم اولیه است. همچنین $(\varepsilon_e^p) r$ تابع سخت شدگی همسان گرد نام دارد. در عمل این تابع به دو صورت خطی و یا غیرخطی تعریف می شود. برخی پژوهشگران برای سخت شدگی همسان گرد غیرخطی رابطهٔ ۵ را پیشنهاد کرده اند:^{۱۷}

$$d\sigma_0 (\varepsilon_e^p) = b (Q_\infty - \sigma_0) d\varepsilon_e^p \quad (5)$$

که در آن، b و Q_∞ ثابت های ماده هستند که در حالت تک محوری، شکلی نمایی به منحني تشن - کرنش می دهند. با انتگرال گیری از رابطهٔ ۵، تابع سخت شدگی همسان گرد غیرخطی با شرط اولیه $\sigma_0 = \sigma_y$ ، به صورت رابطهٔ ۶ حاصل می شود:

$$\sigma_0 (\varepsilon_e^p) = \sigma_y + Q_\infty (1 - e^{-b\varepsilon_e^p}) \quad (6)$$

براساس رابطهٔ ۶، متغیر سخت شدگی همسان گرد تابعی از کرنش خمیری مؤثر است و بعد از تعدادی چرخهٔ بارگذاری مشخص به مقدار Q_∞ پایدار می شود. بنابراین Q_∞ معرف مقدار حدی رشد σ است. به عبارت بهتر، بیشینه اندازهٔ سطح تسلیم، که براساس این قانون پیش بینی می شود، برابر با $Q_\infty + \sigma_y$ است.

علی‌رغم آنچه در مورد اهمیت لحاظ کردن اثر سخت شدگی چرخه بی فولاد در تعیین رفتار واقعی سازه های فولادی، که تحت بارهای رفت و برگشتی قرار می گیرند، بیان شده است؛ امروزه در بسیاری از تحلیل های عددی، از اثر سخت شدگی فولاد صرف نظر می شود (فرض ارجاعی - خمیری کامل^۹ ماده) و یا فقط سخت شدگی آن در نظر گرفته می شود (فرض سخت شدگی همسان گرد و یا فرض سخت شدگی خطی پویا). برای مثال در مطالعاتی که بر روی رفتار چرخه بی قاب های شیوه سازی رفتار خمیری فولاد از مدل سخت شدگی همسان گرد،^{۱۸} برخی دیگر از مدل سخت شدگی خطی پویا،^{۱۹-۲۰} و پژوهشگر دیگر از مدل سخت شدگی غیرخطی پویا استفاده کرده اند.^{۲۱} همچنین در مطالعاتی که به ترتیب در مورد رفتار لرزه بی سازه های مرکب (بتن و فولاد نرمه) و اثر ورق های پیوستگی و مضاعف در اتصالات خمشی انجام شده است، از مدل سخت شدگی همسان گرد استفاده شده است.^{۱۲-۱۳} حال این سوال مطرح است که چنین فرضیاتی به چه میزان در ایجاد خطأ در پاسخ ها اثربار خواهد بود. این نوشتار تلاش دارد به این سوال در چارچوب مراحل زیر پاسخ دهد:

- انتخاب یک مدل سخت شدگی ترکیبی غیرخطی که می تواند با دقت مناسب رفتار چرخه بی فولاد و پدیده های وابسته به آن را به زبان ریاضی بیان کند. همچنین این مدل باید پیچیدگی محدودی داشته باشد، تا امکان به کارگیری آن در مسائل رایج مهندسی وجود داشته باشد.
- انتخاب یک اتصال فولادی به عنوان زیرسازه مورد بررسی جهت ارزیابی اثربارگاری فرضیات سخت شدگی در پاسخ ها.
- شیوه سازی اجزاء محدود اتصال موردنظر، صحبت سنجی مدل و معرفی معیارهای مقاومت، ارزی استهلاکی و آغاز ترک برای مقایسه نتایج مدل های سخت شدگی متفاوت.

• انتخاب ۶ نوع فولاد متفاوت از لحاظ خواص سخت شدگی خمیری، به کارگیری ۶ فرضیه متفاوت سخت شدگی شامل: سخت شدگی غیرخطی ترکیبی، سخت شدگی خطی پویا، سخت شدگی غیرخطی پویا، سخت شدگی خطی پویا، سخت شدگی همسان گرد و سخت شدگی غیرخطی همسان گرد (در دو حالت مختلف) و در نهایت، بررسی نتایج تحلیل برای دو نوع بارگذاری چرخه بی دور و نزدیک گسل.

۲. انواع مدل های سخت شدگی کلاسیک

مطالعات آزمایشگاهی نشان می دهند که اغلب فلزات رفتاری وابسته به چرخهٔ بارگذاری دارند. از معروف ترین پدیده هایی که در بارگذاری چرخه بی رخ می دهد، می توان به اثر پوشینگر^{۱۰}، سخت شدگی و نرم شدگی چرخه بی^{۱۱}، رچتینگ^{۱۲}، آسودگی^{۱۳} و انتقال آرام از ناحیه ای ارجاعی به خمیری اشاره کرد. اثر پوشینگر عبارت است از کاهش تنش تسلیم در جهت باربرداری در قیاس با مقدار پیشین خود در وضعیت بارگذاری.^{۱۴} همچنین به افزایش و یا کاهش طول ناحیه ای ارجاعی در طول چرخه های بارگذاری (افزایش و یا کاهش اندازهٔ سطح تسلیم) سخت شدگی و یا نرم شدگی چرخه بی اطلاق می شود. رچتینگ عبارت است از ایجاد کرنش میانگین مخالف صفر تحت اثر بارگذاری تشن کتیل با تنش میانگین مخالف صفر.^{۱۵} همچنین به کاهش تنش میانگین و صفر شدن آن در بارگذاری کرنش کتیل نامتقارن آسودگی تشن گفته می شود.^{۱۶} تاکنون مدل های سخت شدگی کلاسیک متفاوتی برای توصیف رفتار چرخه بی فولاد به کار رفته است. در این بین مدل های سخت شدگی همسان گرد، پویا و

۳.۲ مدل سخت شدگی ترکیبی
به منظور شبیه سازی رفتار واقعی فولاد، مدل هایی ارائه شده اند که قادر هستند اثر سخت شدگی پویا و همسان گرد را به صورت هم زمان در نظر بگیرند. به این دسته از مدل ها، مدل سخت شدگی ترکیبی گویند و به صورت رابطه‌ی ۱۰ بیان می شوند:^[۱۰]

$$F = f(\sigma - \alpha) - \sigma_0 (\varepsilon_e^p) = 0 \quad (10)$$

در این پژوهش، برای تعریف رفتار سخت شدگی ترکیبی از مدل سخت شدگی پویای چابوچی با ۳ عبارت غیرخطی و مدل سخت شدگی غیرخطی همسان گرد چابوچی (رابطه ۶) استفاده شده است.

۳. شبیه سازی عددی و صحبت سنجی

۳.۱. ایجاد مدل اجزاء محدود

امروزه در برخی از کشورها مانند ایران، استفاده از مقاطع مرکب فولادی در ساخت اسکلت های سازه‌ی کاربرد فراوانی دارد. به همین جهت و به منظور بررسی اثر فرضیات مختلف سخت شدگی در رفتار چرخه‌ی اتصالات فولادی، اتصال نشان داده شده در شکل ۱ در این پژوهش مورد ارزیابی قرار گرفته است. این تذکر لازم است که پیش از این، رفتار آزمایشگاهی این اتصال تحت بارگذاری چرخه‌ی دور از گسل مطابق رویه‌ی پیشنهادی ATC۲۴ در پژوهشی در سال ۲۰۱۲ مورد ارزیابی قرار گرفته است. این اتصال شامل مقطع دوبل IPE به همراه ورق پوششی به عنوان ستون و مقطع تک IPE به عنوان تیر بوده است، که در آن انتقال ممان میان تیر و ستون به کمک ورق روسری و زیرسرو انجام می‌پذیرد. همچنین ورقی در داخل چشممه‌ی اتصال به منظور افزایش باربری برشی منظور شده است.^[۱۱] جدول ۱، ابعاد تمامی اجزاء این اتصال را ارائه می‌کند.

شبیه سازی و تحلیل عددی این اتصال در نرم افزار آباکوس انجام پذیرفته است. با توجه به هندسه‌ی متقاضی اتصال نسبت به صفحه‌ی گذرنده از جان تیر، عدم گزارش کمانش خارج از صفحه در آزمایش و در جهت کاهش حجم محاسبات، فقط نیمی از اتصال همانند شکل ۲ در مدل سازی لحاظ می‌شود. همچنین به منظور افزایش دقت در شبیه سازی و امکان در نظر گرفتن هندسه‌ی جوش، اجزاء اتصال از نوع سه بعدی شکل پذیر حجمی تعریف شده اند. در مدل تهیه شده ای اجزاء سازنده ای اتصال در نقاط اتصال (توسط جوش گوش و یا جوش نفوذی کامل) یکپارچه تعریف شده اند. این کار موجب می‌شود تا نیازی به اعمال قیو اضافی نباشد و در نتیجه سرعت تحلیل ها به میزان قابل توجهی افزایش یابد. این تذکر لازم است که در تحلیل های ابتدایی برای سطوح در تماس با یکدیگر (مانند تماس ورق روسری با بال تیر) قیود تماسی استفاده شده است، اما در تحلیل های نهایی با توجه به هزینه محاسباتی بالا و تأثیر ناچیز در پاسخ، این قیود حذف شده است. در المان بندی از دو نوع المان خطی مکعبی (D3C8)، و گوئی (D3C6)، استفاده شده است. باید توجه کرد که اندازه‌ی المان بندی با توجه به شدت گارابیان کرنش در بخش های مختلف اتصال متفاوت است (شکل ۳). تحلیل نمونه ها به روش استاتیکی با فرض رفتار غیرخطی مواد و تغییر شکل های بزرگ صورت گرفته است.

۲.۲ مدل های سخت شدگی پویا

فرض سخت شدگی همسان گرد برای فولاد، در اغلب موارد باعث پیش بینی نادرست از طول ناحیه‌ی ارجاعی می‌شود. برای اصلاح این مشکل می‌توان فرض کرد که سطح تسلیم به جای رشد، فقط در فضای تش شهای اصلی جابجا می‌شود. به این نوع سخت شدگی، که سطح تسلیم بدون تغییر در اندازه فقط جابجا می‌شود، سخت شدگی پویا می‌گویند.^[۱۲] در حالت سخت شدگی پویا، معادله‌ی سطح تسلیم به صورت رابطه‌ی ۷ بیان می‌شود:

$$F = f(\sigma - \alpha) - \sigma_{y0} = 0 \quad (7)$$

که در آن α ، تانسور تش بازگشتی است و مختصات مرکز سطح تسلیم را مشخص می‌کند. قوانین سخت شدگی پویا می‌کوشند تا نحوه حرکت سطح تسلیم را در فضای تش بیان کنند. در ادامه به چند قانون سخت شدگی پویا اشاره شده است.

۲.۲.۱. قانون خطی پراگر

садه ترین فرض برای تعیین نحوه حرکت سطح تسلیم این است که نمو جابجا بی سطح تسلیم، ضربی از نمو کرنش خمیری در نظر گرفته شود. به عبارت دیگر، رابطه‌ی خطی بین $d\alpha$ و $d\varepsilon^p$ حاکم است. این رابطه به عنوان قانون پراگر^[۱۳] شناخته می‌شود و به صورت رابطه‌ی ۸ بیان می‌شود:^[۱۴]

$$d\alpha = C d\varepsilon^p \quad (8)$$

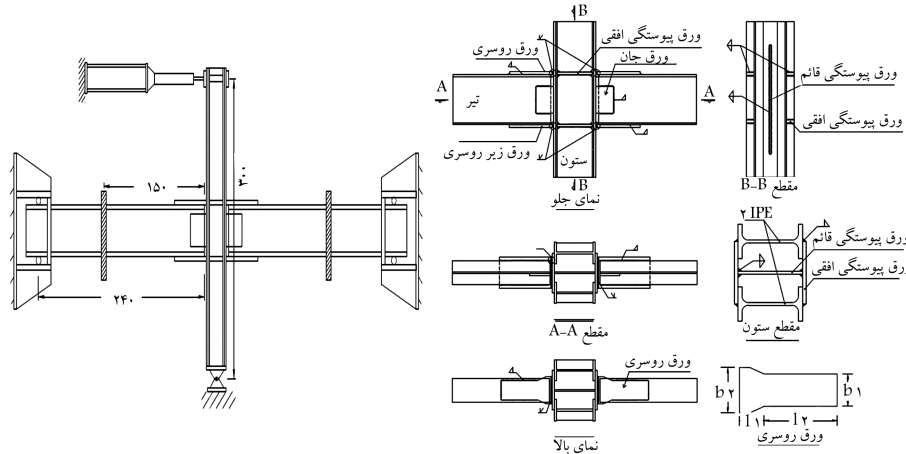
که در آن، C ضریب کار سختی است و با توجه به خواص ماده تعیین می‌شود. براساس این مدل، سطح تسلیم، شکل و اندازه اولیه خود را حفظ می‌کند و در جهت نمو کرنش خمیری و یا بدار قائم بر سطح تسلیم حرکت می‌کند.

۲.۲.۲. قانون سخت شدگی غیرخطی چابوچی

در این مدل با تعمیم مدل سخت شدگی خطی پراگر به صورت مستقیم غیرخطی بودن مخصوصی تش - کرشن شبیه سازی می‌شود. مدل سخت شدگی پویای غیرخطی در ابتدا توسط آرمسترانگ - فردریک^[۱۵] (۱۹۶۶) با استفاده از فقط یک عبارت سخت شدگی ارائه شده است. بعدها چابوچی و همکاران^[۱۶] (۱۹۷۹ و ۱۹۸۶)، با بره نهی چندین عبارت از مدل آرمسترانگ - فردریک مدل سخت شدگی پویای غیرخطی خود را به صورت رابطه‌ی ۹ ارائه کردند:^[۱۷]

$$\alpha' = \sum_{i=1}^M \alpha'_i, \quad d\alpha'_i = \frac{2}{3} C_i d\varepsilon^p - \gamma_i \alpha'_i d\varepsilon_e^p \quad (9)$$

که در آن، α' بخش انحرافی تانسور تش بازگشتی است و C_i و γ_i ثابت های ماده هستند که باید از نتایج آزمایشگاهی تعیین شوند. جمله‌ی کلیدی در رابطه‌ی $d\varepsilon_e^p / d\alpha'_i = \gamma_i$ است، که در اصطلاح به آن بازیابنده‌ی تاریخچه^[۱۸] می‌گویند. این عبارت مدل را قادر می‌سازد تا سخت شدگی غیرخطی و پدیده رچتینگ را شبیه سازی کند. تعداد عبارت مورد استفاده ای مدل در موارد کاربردی برابر ۳ است. عبارت سوم (۶۲) می‌تواند به صورت خطی فرض شود.^[۱۹] به صورت مرسوم مدل های پدیدار شناختی با آزمایش های تک محوری کالیبره می‌شوند. روش های متنوعی برای کالیبراسیون مدل چابوچی ارائه شده است. در این پژوهش متغیرهای مدل براساس روش نیم چرخه، که در راهنمای نرم افزار آباکوس ارائه شده است، تعیین شده اند.^[۲۰]



شکل ۱. هندسه‌ی اتصال فولادی.

جدول ۱. مشخصات هندسه‌ی اجزاء اتصال خمشی.

| مقطع ستون | مقطع تیر | ورق پیوستگی قائم | ورق پوششی ستون | ورق روسری بال | ورق زیررسری بال | ورق برشی جان تیر |
|-----------|-----------|------------------|----------------|----------------|-----------------|------------------|
| ستون | تیر | قائم | ستون | L ₁ | L ₂ | جوش گوشه |
| مقطع | مقطع | مقطع | مقطع | b ₁ | b ₂ | ابعاد ورق |
| 2IPE240 | 2IPE270 | IPE270 | PL 15x10 | PL 1/2 | PL 24x1/2 | PL 28x20 |
| ۰,۸ ** | ۱ | ۱/۵ * | ۱/۵ | ۱۰ | ۱۴ | ۸ |
| ۱۵ | ۲۰ | ۲۰ | ۲۰ | ۲ | ۲۰ | ۲۰ |
| ۱۰ | ۱۴ | ۸ | ۸ | ۲ | ۲ | ۲ |
| ۷۵×۲۴×۱/۲ | ۷۵×۲۴×۱/۲ | ۲۴×۱/۲ | ۲۸×۲۰ | PL | PL | جوش گوشه |

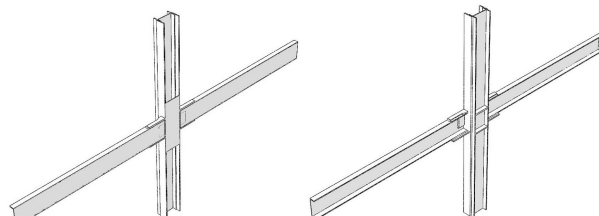
همه‌ی ابعاد بر حسب سانتی‌متر است. ضخامت ورق‌های پیوستگی افقی برابر ضخامت ورق‌های روسری و زیررسری است.

* در شبیه‌سازی اتصال در نرم‌افزار ۱ سانتی‌متر فرض شده است.

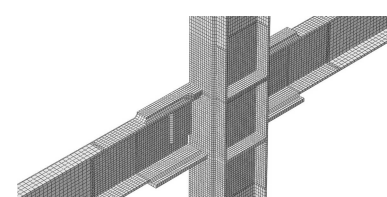
** در شبیه‌سازی اتصال در نرم‌افزار برابر ضخامت بال تیر فرض شده است.

۲.۳. شرایط مرزی و بارگذاری

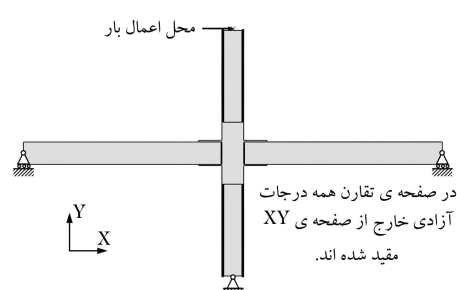
شرایط تکیه‌گاهی مناسب با توجه به شرایط آزمایش اتصال و اینکه فقط نیمی از اتصال شبیه‌سازی شده مطابق شکل ۴ در نظر گرفته شده است، دو الگوی بارگذاری چرخه‌ی دور از گسل و نزدیک گسل به ترتیب مطابق رویه‌های آین نامه‌های ATC-۲۴^[۱۷] و SAC^[۱۸] در محل بالایی ستون به صورت کنترل شونده‌ی جابجایی اعمال شده است. شکل ۵، این دو الگوی بارگذاری را به صورت منحنی‌های درصد جابجایی نسبی در برابر چرخه‌ی بارگذاری ارائه می‌کند. این تذکر لازم است که در رویه‌ی بارگذاری نزدیک گسل، به علت وجود نامتقارنی بارگذاری، رفتار رجتینگ فولادها در پاسخ‌های تحلیل نقش بیشتری می‌یابند و از این لحاظ با بارگذاری متقاضان دور از گسل تفاوت وجود دارد.



شکل ۲. هندسه‌ی اتصال فولادی شبیه‌سازی شده در نرم‌افزار.

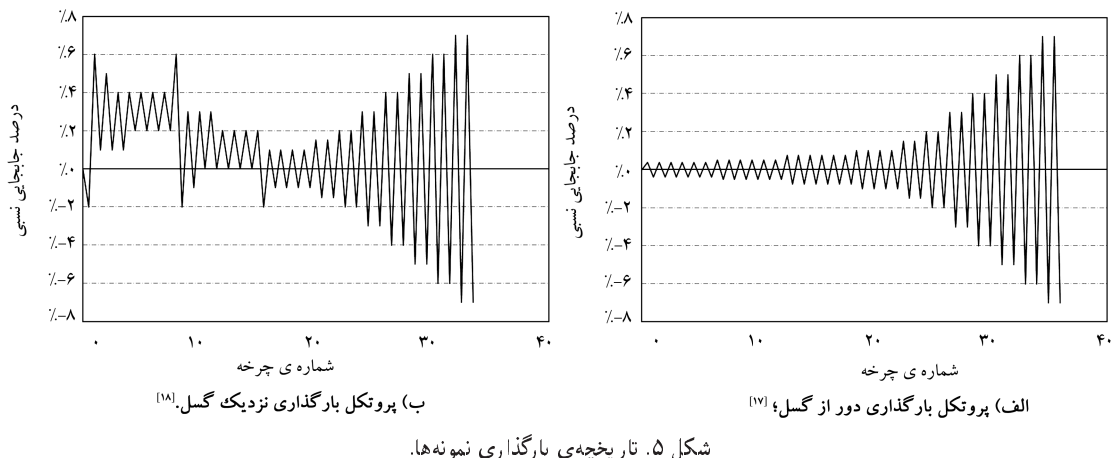


شکل ۳. المان بنده اتصال فولادی شبیه‌سازی شده در نرم‌افزار.



شکل ۴. شرایط مرزی اتصال فولادی شبیه‌سازی شده در نرم‌افزار.

به منظور بررسی جامع اثر فرضیات سخت‌شدگی مختلف در رفتار چرخه‌ی اتصال فولادی، ۶ نوع فولاد با مشخصات خمیری گوناگون مورد ارزیابی قرار گرفته است. در جدول ۲، نام و ویژگی‌های هر یک از فولادهای انتخابی به صورت مختص شرح داده شده است. در این جدول، متغیرهای سخت‌شدگی همسان‌گرد مدل ترکیبی نیز ذکر شده است. همچنین در پیوست الف مقادیر تنش حقیقی - کرنش خمیری حقیقی (اصلاح شده برای اثربخشی) هر یک از فولادهای مورد مطالعه ارائه شده است. این تذکر لازم است که مشخصات خمیری فولاد ایران از مرجع^[۱۹] و مابقی فولادهای انتخابی از مرجع^[۲۰] استخراج شده است. با بررسی رفتار چرخه‌یی فولادهای منتخب در این مراجع می‌توان این موارد را در مورد تفاوت‌های موجود در رفتار سخت‌شدگی



شکل ۵. تاریخچه‌ی بارگذاری نمونه‌ها.

جدول ۲. مشخصات خمیری فولادهای مصرفی.

| نام فولاد | نام تجاری | تنش تسلیم (MPa) | کرنش خمیری (MPa) | تنش گسیختگی (MPa) | توضیحات سخت شدگی | | |
|---|-----------|-----------------|------------------|-------------------|------------------|------------------------|---------|
| | | | گسیختگی | همسان‌گرد مدل CH | Q _∞ | b | |
| فولاد نرم‌هی ساخت ایران، با ویژگی سخت شدگی همسان‌گرد چرخه‌یی | ۲۲۰ | ۷ | ۱,۰۰ | ۸۰۰ | ۲۸۰ | ST۳۷ | IR-ST۳۷ |
| فولاد نرم‌هی ساخت آمریکا، نمونه‌گیری شده از مقطع W، با ویژگی سخت شدگی همسان‌گرد چرخه‌یی | ۱۱۷/۲ | ۵ | ۸,۵۶ | ۳۴۴۷ | ۳۴۵ | A572 | AW5° |
| فولاد نرم‌هی ساخت آمریکا، نمونه‌گیری شده از ورق نوردشده، با ویژگی سخت شدگی همسان‌گرد چرخه‌یی | ۱۱۷/۲ | ۵ | ۱,۲۳ | ۸۲۷ | ۳۴۵ | A572 Grade5° | AP5° |
| فولاد پر مقاومت ساخت آمریکا، نمونه‌گیری شده از ورق نوردشده، با ویژگی سخت شدگی همسان‌گرد چرخه‌یی | -۳۴,۵ | ۵ | ۲,۳۳ | ۹۵۸ | ۳۴۵ | A514 Grade11° | AP11° |
| فولاد نرم‌هی ساخت ژاپن، نمونه‌گیری شده از ورق نورد شده، با ویژگی سخت شدگی همسان‌گرد چرخه‌یی | ۱۷۲,۴ | ۵ | ۲,۳۳ | ۹۲۴ | ۳۴۵ | JIS-SN49°B Grade5° | JP5° |
| فولاد نرم‌هی ساخت ژاپن، نمونه‌گیری شده از مقطع W، با ویژگی سخت شدگی همسان‌گرد چرخه‌یی | ۲۴۱,۳ | ۵ | ۲,۳۳ | ۹۱۰ | ۳۱۰ | JIS-SN49°B Grade 5° | JW5° |

- فولاد AP110 دارای ویژگی نرم شدگی چرخه‌یی است، اما اثر نرم شدگی چرخه‌یی در پاسخ تنش - کرنش تک محوری بسیار ناچیز است.

خمیری آن‌ها بیان کرد:

- فولادهای AP5° و JW5° ویژگی سخت شدگی همسان‌گرد را دارند، اما سهم سخت شدگی بُویا در پاسخ تنش - کرنش خمیری تک محوری فولاد AW5° بسیار بیشتر است، به قسمی که در کرنش خمیری گسیختگی، سخت شدگی همسان‌گرد فقط در حدود ۴٪ از پاسخ کل تک محوری فولاد AW5° را تشکیل می‌دهد و بقیه‌ی پاسخ مربوط به اثر سخت شدگی بُویاست. این مقدار برای فولاد JW5° برابر ۲۵٪ است.
- فولادهای JP5° و AW5° ویژگی سخت شدگی همسان‌گرد را دارند، اما سهم سخت شدگی همسان‌گرد در پاسخ تنش - کرنش خمیری تک محوری فولاد JW5° بیشتر است، به قسمی که در کرنش خمیری گسیختگی، سهم سخت شدگی همسان‌گرد برای فولادهای JP5° و JW5° به ترتیب برابر ۲۸ و ۴۰ درصد است. همچنین در ابتدای منحنی تنش - کرنش خمیری این فولادها، سهم

این تذکر لازم است که نرم افزار برای مقادیر کرنش خمیری معادل بزرگ‌تر از مقادیر ورودی، فرض ثابت ماندن تنش تسلیم را اعمال می‌کند. استفاده از این مدل بسیار فراگیر است.

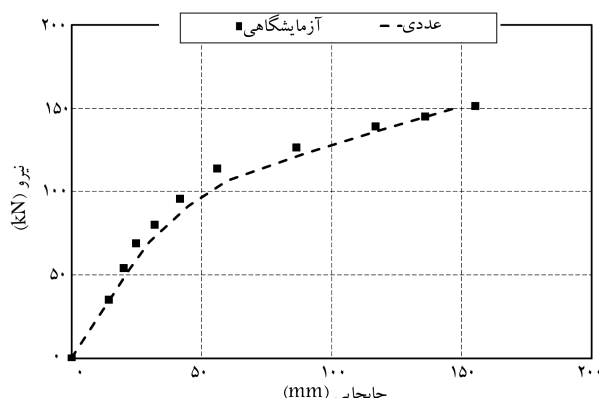
- سخت شدگی همسان‌گرد خطی (LIH): در این حالت نیز فرض شده است که تمامی رفتار خمیری فولاد ناشی از اثر سخت شدگی همسان‌گرد است. اما تابع سخت شدگی همسان‌گرد نه براساس واقعیت و بلکه به صورت خطی تعریف می‌شود، یعنی منحنی تنش - کرشن از نقطه‌ی تسلیم اولیه تا نقطه‌ی متاظر با تنش بیشینه در منحنی تنش - کرشن اصلاح نشده برای اثر گلوبی به صورت خطی است. استفاده از این مدل بسیار فراگیر است.

- سخت شدگی پویای خطی (LKH): در این حالت با صرف نظر از اثر سخت شدگی همسان‌گرد، رفتار خمیری به صورت سخت شدگی خطی پراگر فرض می‌شود. در این حالت لازم است مقادیر تنش در ابتدای جریان خمیری (تنش تسلیم) و تنش حقیقی بیشینه (بدون اصلاح اثر گلوبی شدن) و مقدار کرشن خمیری نظیر آن در نرم افزار تعریف شود. استفاده از این مدل نیز بسیار فراگیر است.

- سخت شدگی پویای غیرخطی (NLKH): این حالت فرض می‌کند تمامی رفتار غیرخطی فولاد ناشی از سخت شدگی غیرخطی پویاست. تعریف و اختصاص متغیرهای مدل در این حالت مشابه حالت سخت شدگی ترکیبی است، با این تفاوت که در این حالت، متغیرهای سخت شدگی همسان‌گرد تعریف نمی‌شوند. به عبارت بهتر فرض می‌شود که اندازه سطح تسلیم در طی جریان خمیری ثابت می‌ماند. این حالت در این نوشتار فرض شده است. برای تعریف مدل سخت شدگی غیرخطی پویا در نرم افزار از مدل ترکیبی بدون اختصاص متغیرهای سخت شدگی همسان‌گرد استفاده شده است.

۵.۳. اعتبارسنجی

به منظور اطمینان از دقت مدل سازی، نمودار پوش چرخه‌ی هیسترسیس اتصال با نتایج آزمایشگاهی در حالت بارگذاری دور از گسل مقایسه شده است. شکل ۷، این مقایسه را نشان می‌دهد که مؤید انتباطی مناسب پاسخ‌های عددی است. باید توجه شود که در تحلیل عددی مدل دقیق سخت شدگی ترکیبی برای فولاد نرمه‌ی IR-ST^{۳۷} به کار رفته است.



شکل ۷. صحبت‌سنجدی پوش نیرو - تعییر مکان مدل با نتایج آزمایشگاهی.

سخت شدگی همسان‌گرد از سخت شدگی پویا بیشتر است.

- فولاد IR-ST^{۳۷} نیز دارای ویژگی سخت شدگی همسان‌گرد است. همچنین سهم سخت شدگی همسان‌گرد و پویا در پاسخ تک محوری آن تقریباً یک اندازه است.

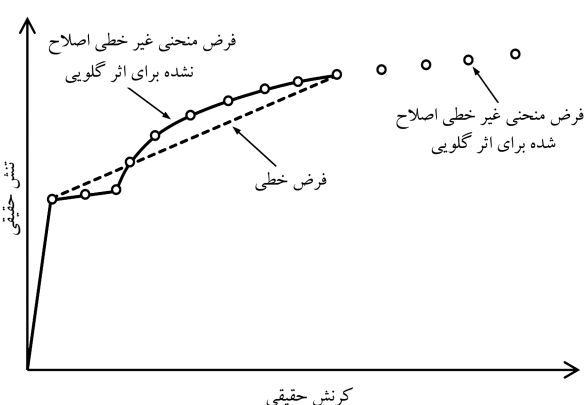
۴.۰. مدل‌های سخت شدگی مورد مطالعه

برای هر نوع از فولادهای جدول ۲، شش فرض متفاوت سخت شدگی مورد بررسی قرار گرفته است. ۱) حالت انتخاب شده براساس مشاهده‌ی کاربرد آن‌ها در میان مهندسان و پژوهشگران بوده و ۲) حالت دیگر فرض این پژوهش است (شکل ۶). نرم افزار آباکوس مدل‌های مختلف سخت شدگی خمیری فلزات در اختیار قرار می‌دهد. مدل سخت شدگی پویای موجود در نرم افزار همان مدل پراگر است، که در شبیه‌سازی برای تعریف سخت شدگی پویای خطی استفاده شده است. همچنین این نرم افزار گرینه‌ی سخت شدگی همسان‌گرد را نیز در اختیار کاربر قرار می‌دهد، که می‌توان با تعریف ضوابط رابطه‌ی ۶ و یا وارد کردن مستقیم منحنی تنش در برابر کرنش خمیری، سخت شدگی همسان‌گرد فولاد را تعریف کرد. در این نرم افزار مدل سخت شدگی ترکیبی چاپوچی نیز موجود است. از این مدل برای تعریف فرضیه‌ی سخت شدگی ترکیبی و پویای غیرخطی استفاده شده است. در ادامه، هر یک از فرضیات سخت شدگی خمیری مورد مطالعه در این نوشتار و نحوه‌ی تعریف متغیرهای آن در نرم افزار ارائه شده است.

- سخت شدگی ترکیبی (CH): در این حالت رفتار کامل فولاد به صورت ترکیبی از سخت شدگی همسان‌گرد و پویا در نظر گرفته می‌شود. به منظور شبیه‌سازی سخت شدگی پویا، مدل غیرخطی چاپوچی با ۳ عبارت سخت شدگی استفاده شده است. برای تعیین متغیرهای سخت شدگی پویا، نمودار اصلاح شده‌ی تنش - کرشن حقیقی برای اثر گلوبی به کار رفته است. همچنین تابع سخت شدگی همسان‌گرد براساس این مدل غیرخطی چاپوچی تعریف شده است. استفاده از چنین مدلی فقط در مطالعات دقیق و پیشرفته مشاهده می‌شود و در این نوشتار به عنوان مدل مرجع به کار رفته است.

- سخت شدگی همسان‌گرد نوع اول (IH-T۱): در این حالت فرض می‌شود تمامی رفتار غیرخطی فولاد ناشی از اثر سخت شدگی همسان‌گرد است. این حالت در این نوشتار فرض شده است.

- سخت شدگی همسان‌گرد نوع دوم (IH-T۲): این حالت شبیه حالت قبل است، اما منحنی تنش - کرشن فولاد برای اثر گلوبی شدن اصلاح نشده است.



شکل ۶. فرضیات مختلف سخت شدگی.

۴. بررسی نتایج

۱.۴. معرفی معیارهای مقایسه

در این پژوهش به منظور مقایسه رفتار اتصال تحت اثر فرضیات مختلف سخت‌شدگی خمیری، معیارهای زمان شروع ترک، مقاومت و ظرفیت جذب انرژی مورد استفاده قرار گرفته است. در تعیین زمان شروع ترک فرض می‌شود که برای هر فولاد و در هر حالت بارگذاری، در صورتی که کرنش خمیری بیشینه در مدل از یک مقدار بحرانی تجاوز کند، ترک آغاز می‌شود. برای تعیین مقدار کرنش خمیری بحرانی از مدل پیشرفت و جدید رشد حفره‌ی چرخه‌ی CVGM^[۱] و برای معیار مقاومت در حالت بارگذاری دور از گسل از نمودار پوش چرخه‌ی و در حالت نزدیک گسل از نمودار نیرو - تاریخچه‌ی بارگذاری استفاده شده است (منظور از نیرو و تغییر مکان در نمودارهای مذکور، مقدار این کمیت‌ها در نقطه‌ی اعمال بار است). همچنین در هر دو حالت بارگذاری، برای معیارهای ظرفیت جذب انرژی از نمودارهای انرژی اتلافی خمیری - چرخه‌ی بارگذاری استفاده شده است. با توجه به اینکه رفتار واقعی فولاد به حالت سخت‌شدگی ترکیبی سیار نزدیک است، در تمامی نمودارها، پاسخ فرضیات سخت‌شدگی مختلف با نتایج فرض سخت‌شدگی ترکیبی مقابله شده است. به بیان دیگر، مدل ترکیبی به عنوان مدل مرجع جهت مقایسه به کار رفته است.

۲.۴. نتایج معیار مقاومت

جدول ۳، درصد اختلاف نیروی پیش‌بینی شده توسط هر یک از مدل‌های سخت‌شدگی خمیری نسبت به مدل سخت‌شدگی ترکیبی (مدل مرجع) را در جایگاهی بیشینه‌ی قبل از شروع ترک ارائه می‌کند. این مقادیر مقاومت (و کرنش خمیری معادل که در ادامه‌ی نوشتاب در مورد آن بحث شده است) برای فولاد JW50 به دلیل تک‌نحوzen این فولاد در طول بارگذاری، مربوط به انتهای تاریخچه‌ی بارگذاری است. نتایج جدول ۳ نشان می‌دهد که:

۳. نتایج معیار ظرفیت استهلاک انرژی

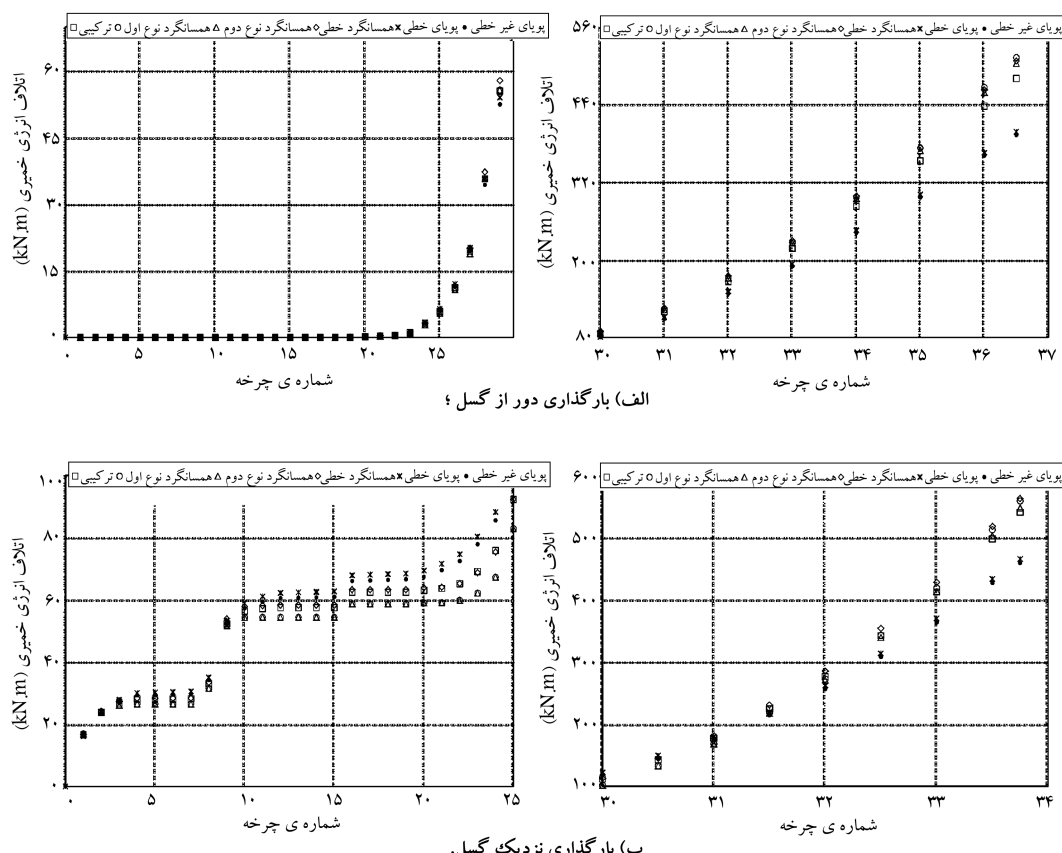
شکل ۸، میزان انرژی استهلاکی در برابر چرخه‌ی بارگذاری را برای فولاد IR-ST۳۷ در حالت بارگذاری دور و نزدیک گسل نشان می‌دهد. همچنین در پیوست ب درصد اختلاف انرژی استهلاکی در برابر چرخه‌ی بارگذاری برای هر یک از مدل‌های سخت‌شدگی خمیری نسبت به مدل سخت‌شدگی ترکیبی ارائه شده است. این اطلاعات برای هر یک از فولادهای مورد مطالعه در این نوشتاب و در دو حالت بارگذاری دور و نزدیک گسل ارائه شده است. در حالت بارگذاری دور از گسل، در طول چرخه‌های ابتدایی بارگذاری (۰-۲۰ چرخه‌ی اول)، اتصال رفتاری ارجاعی و در نتیجه استهلاک انرژی ناچیزی دارد. این تذکر لازم است که در هر دو حالت بارگذاری دور و نزدیک گسل، بیشترین انرژی جذب شده در چرخه‌های پایانی بارگذاری رخ می‌دهد. بنابراین به منظور رعایت اختصار در پیوست ب مقادیر استهلاک انرژی برخی از چرخه‌ها ارائه شده است. با توجه به شکل ۸ و پیوست ب، این نتایج قابل استخراج است:

- روند خطای از نوع بارگذاری (استفاده از پوتکل دور و یا نزدیک گسل) است.
- برای مدل‌های سخت‌شدگی غیرخطی همسان‌گرد در چرخه‌های ابتدایی شروع تغییر شکل‌های خمیری (تا چرخه‌ی شماره ۲۵ بارگذاری دور از گسل و نزدیک به

جدول ۳. مقایسه‌ی نیروی پیش‌بینی شده (برحسب KN) نظری جایگاهی بیشینه‌ی قبل از شروع ترک با پاسخ مدل CH.

| درصد اختلاف مدل‌های سخت‌شدگی خمیری مختلف با مدل CH | | | | | | | | | | پیش‌بینی مدل | | تغییر مکان | | نام فولاد |
|--|-----|-----|-----|-----|-----|-------|----|-------|----|--|-----|------------|-----|-----------|
| NLKH | | LKH | | LIH | | IH-T2 | | IH-T1 | | CH | | (mm) | | |
| NF | FF | NF | FF | NF | FF | NF | FF | NF | FF | NF | FF | NF** | FF* | |
| -۲۵ | -۲۴ | -۳۰ | -۳۰ | ۶ | ۵ | ۱۱ | ۱۱ | ۱۴ | ۱۲ | ۱۶۷ | ۱۷۰ | ۱۸۰ | ۲۱۰ | IR-ST۳۷ |
| -۱۲ | -۱۴ | -۱۲ | -۱۳ | ۵ | ۶ | ۲۶ | ۳۰ | ۲۶ | ۳۰ | ۱۵۲ | ۱۵۷ | ۱۵۰ | ۱۸۰ | AW50 |
| -۴ | -۴ | -۲۷ | -۲۲ | -۷ | -۸ | ۳ | ۲ | ۳ | ۳ | ۱۸۶ | ۲۰۳ | ۱۲۰ | ۱۵۰ | AP50 |
| ۰ | ۱ | ۰ | ۰ | ۰ | ۱ | ۴ | ۵ | ۴ | ۵ | ۲۵۱ | ۲۵۷ | ۱۵۰ | ۱۵۰ | AP110 |
| -۸ | -۹ | -۳۷ | -۴۰ | -۲۹ | -۳۱ | ۴ | ۲ | ۴ | ۳ | ۱۹۰ | ۲۰۱ | ۱۵۰ | ۱۸۰ | JW50 |
| -۲۳ | -۲۲ | -۵۰ | -۴۸ | -۳۸ | -۳۹ | -۱ | ۰ | -۱ | ۰ | ۲۱۶ | ۲۱۴ | ۲۱۰ | ۲۱۰ | |
| ۲۵ | ۲۴ | ۵۰ | ۴۸ | ۳۸ | ۳۹ | ۲۶ | ۳۰ | ۲۶ | ۳۰ | بیشینه‌ی درصد اختلاف هر یک از مدل‌ها با مدل CH | | | | |

* بارگذاری دور از گسل. ** بارگذاری نزدیک گسل.



شکل ۸. نمودار انرژی انتلافی خمیری - چرخه‌ی بارگذاری برای فولاد IR-ST37.

- روند خطاها در پیش‌بینی این کمیت فقط به انتخاب مدل سخت‌شدگی بستگی دارد و مستقل از نوع بارگذاری (استفاده از پروتکل دور و یا نزدیک گسل) است.
- مشاهده می‌شود که در بیشتر موارد، مدل‌های سخت‌شدگی همسان‌گرد لحظه‌ی شروع ترک را دیگر و یا هم‌زمان با مدل سخت‌شدگی ترکیبی پیش‌بینی می‌کنند. برخلاف این، مدل‌های سخت‌شدگی پویا در بیشتر موارد زمان شروع ترک را زودتر پیش‌بینی می‌کنند.
- در صورتی که اثر سخت‌شدگی همسان‌گرد در منحنی تک محوری تشن - کرنش فولاد قابل توجه باشد، اختلاف پیش‌بینی مدل سخت‌شدگی ترکیبی با مدل‌های سخت‌شدگی همسان‌گرد نسبت به مدل‌های سخت‌شدگی خطی و غیرخطی پویا کمتر می‌شود.

۵. نتیجه‌گیری

در این نوشتار اثر فرضیات سخت‌شدگی فولاد در مدل رفتاری خمیری مورد استفاده در معیارهایی مانند پیشنهادی نیروی ایجاد شده در عضو سازه‌یی، میزان استهلاک انرژی، و زمان آغاز گسیختگی مورد بررسی قرار گرفته است. دو پروتکل بارگذاری دور و نزدیک گسل به نمونه‌ی مورد بررسی اعمال شده است. تحلیل‌ها برای ۶ نوع فولاد با خواص سخت‌شدگی متفاوت و با در نظر گرفتن ۶ فرضیه‌ی مختلف در مدل رفتاری انجام شده است. برخی از این فرضیات همان نمونه‌هایی هستند که در اغلب تحلیل‌های مهندسی استفاده می‌شوند. مدل سخت‌شدگی ترکیبی غیرخطی

- گسل فولاد، با توجه به اینکه اثر سخت‌شدگی همسان‌گرد در ابتدای جریان خمیری فعال می‌شود، مقدار انرژی انتلافی خمیری نسبت به مدل سخت‌شدگی ترکیبی کمتر پیش‌بینی می‌شود. با ادامه‌ی بارگذاری و اشباع اثر سخت‌شدگی همسان‌گرد، مقدار پیش‌بینی شده در چرخه‌های انتهایی از مقدار پیش‌بینی شده توسعه مدل سخت‌شدگی ترکیبی بیشتر می‌شود. همچنین در مدل‌های سخت‌شدگی خطی همسان‌گرد و پویا با توجه به ضریب خمیری کوچک در این دور چرخه‌ای ابتدایی، جریان خمیری بیشتری رخ می‌دهد، اما با ادامه‌ی بارگذاری این روند معکوس می‌شود.
- با توجه به هندسه‌ی اتصال مورد مطالعه، در آغاز جریان خمیری، تعداد کمی از المان‌ها وارد ناحیه‌ی خمیری می‌شوند. بنابراین میزان استهلاک انرژی مدل‌های مختلف، تفاوت ناچیزی با یکدیگر دارد.

- در صورتی که اثر سخت‌شدگی همسان‌گرد در منحنی تک محوری تشن - کرنش فولاد قابل توجه باشد، اختلاف پیش‌بینی مدل سخت‌شدگی ترکیبی با مدل‌های سخت‌شدگی خطی و غیرخطی همسان‌گرد نسبت به مدل‌های سخت‌شدگی خطی و غیرخطی پویا کمتر می‌شود.

۶. معیار زمان شروع ترک

در جدول ۴، شماره‌ی چرخه‌ی شروع ترک، برای هر یک از مدل‌های سخت‌شدگی خمیری محاسبه شده است. با توجه به جدول مذکور، این مطالب قابل برداشت است:

جدول ۴. شماره‌ی چرخه‌ی شروع ترک با فرض سطح شروع ترک در مدل CH.

| مدل سخت‌شدگی خمیری | | | | | | | | | | | | نام فولاد |
|--------------------|----|-----|----|-----|----|-------|----|-------|----|----|----|-----------|
| NLKH | | LKH | | LIH | | IH-T2 | | IH-T1 | | CH | | |
| NF | FF | NF | FF | NF | FF | NF | FF | NF | FF | NF | FF | |
| ۲۸ | ۳۳ | ۲۷ | ۳۲ | ۳۲ | ۳۶ | ۳۲ | ۳۶ | ۳۳ | ۳۶ | ۳۲ | ۳۶ | IR-ST۳۷ |
| ۲۸ | ۳۲ | ۲۸ | ۳۲ | ۳۳ | ۳۷ | ۳۳ | ۳۷ | ۳۳ | ۳۷ | ۳۰ | ۳۵ | AW۵۰ |
| ۲۷ | ۳۳ | ۲۳ | ۳۳ | ۲۹ | ۳۳ | ۲۹ | ۳۳ | ۲۹ | ۳۳ | ۲۸ | ۳۳ | AP۵۰ |
| ۲۹ | ۳۳ | ۲۹ | ۳۳ | ۳۰ | ۳۳ | ۳۰ | ۳۴ | ۳۰ | ۳۴ | ۲۹ | ۳۳ | AP۱۱۰ |
| ۲۹ | ۳۴ | ۲۵ | ۳۲ | ۲۸ | ۳۴ | ۲۹ | ۳۴ | ۲۹ | ۳۴ | ۳۰ | ۳۵ | JP۵۰ |

بنابراین در صورتی که شبیه‌سازی عددی فولاد بدون توجه به رفتار واقعی آن صورت پذیرد و اثرات ترکیبی سخت‌شدگی پویا و همسان‌گرد در نظر گرفته نشود، خطای قابل توجهی در برآورده مدل عددی از کمیت‌های نیرو ارزی اتلافی خمیری و کرنش خمیری معادل بیشینه قابل انتظار است. در این نوشتار نتایج نشان داده است که در برخی موارد خطاهای از مرز ۵۰٪ هم عبور می‌کنند، که به هیچ عنوان قابل اغماض نیست. این نکته توجه جامعه‌ی مهندسان و دانشگاهی را به موضوع شبیه‌سازی دقیق‌تر فولاد می‌طلبید. از طرف دیگر، با توجه به اینکه به منظور کالایبره کردن مدل سخت‌شدگی ترکیبی، نیاز به انجام آزمایش چرخه‌ی تک محوری است، در صورت عدم دسترسی به نتایج این آزمایش، این بررسی ابتدایی توصیه می‌شود: دو تحلیل با فرض‌های سخت‌شدگی غیرخطی پویا و همسان‌گرد صورت گیرد، در صورتی که اختلاف پاسخ‌های دو تحلیل مذکور کوچک باشد، به معنی آن است که نتایج تحلیل به مدل سخت‌شدگی حساسیت زیادی ندارد و بنابراین می‌توان به نتایج حاصل از این دو فرضیه اطمینان کرد. در این حالت با توجه به اینکه فرض سخت‌شدگی غیرخطی پویا اغلب تحلیلی در جهت اطمینان ارائه می‌کند، بهتر است از این فرضیه استفاده شود.

چاچوچی به عنوان یک مدل توانمند به عنوان مدل مرجع به کار رفته است. در محدوده‌ی اتصال مورد بررسی، پروتکل‌های بارگذاری به کار رفته، فولادهای مصرفی و مدل‌های سخت‌شدگی خمیری مورد مطالعه در این نوشتار نتایج اصلی به این شرح حاصل شده است:

- روند خطاهای در پیش‌بینی کمیت‌های مقاومت، انرژی استهلاکی و زمان آغاز گسیختگی، فقط به انتخاب مدل سخت‌شدگی بستگی دارد و مستقل از نوع بارگذاری (استفاده از پروتکل دور و یا نزدیک گسل) است.
- معیارهای مقاومت و زمان شروع ترک، به ترتیب بیشترین و کمترین میزان حساسیت نسبیت به انتخاب مدل سخت‌شدگی خمیری را دارند.
- به طور کلی با افزایش سهم سخت‌شدگی همسان‌گرد در منحنی تک محوری تنفس - کرنش فولاد، اختلاف مدل‌های سخت‌شدگی همسان‌گرد با مدل سخت‌شدگی ترکیبی در پیش‌بینی مقاومت نهایی اتصال، ظرفیت استهلاک انرژی و زمان شروع ترک کاهش می‌یابد و بالعکس.

پانویس‌ها

(References)

1. cyclic
2. strain hardening
3. kinematic
4. isotropic
5. constitutive model
6. multi-surface models
7. two-surface models
8. endochronic models
9. elastic-perfectly plastic
10. Bauschinger effect
11. cyclic hardening/softening
12. ratchetting
13. relaxation
14. accumulated (effective) plastic strain
15. Prager's hardening rule
16. Armstrong-Frederick hardening rule
17. dynamic recovery

1. Khan, A.S. and Huang, S., *Continuum Theory of Plasticity*, John Wiley & Sons, New York, pp. 119-238 (1995).
2. McDowell, D.L. "The significance of nonproportional loading tests for characterization of cyclic response of metals", *Proc. 1985 Spring Conference on Experimental Mechanics, Society for Experimental Stress Analysis*, Las Vegas, pp. 229-236 (1985).
3. Salawdeh, S. and Goggins, J. "Numerical simulation for steel brace members incorporating a fatigue model", *Engineering Structures*, **46**, pp. 332-349 (2013).
4. Wijesundara, K.K., Rassathi, G.A., Nascimbene, R. and Bolognini, D. "Seismic performance of brace-beam-column connections in concentrically braced frames", In *Structures Congress*. ASCE, Florida, United States, pp. 930-942 (2010).
5. Yoo, J.H., Lehman, D.E. and Roeder, C.W. "Influence of connection design parameters on the seismic perfor-

- mance of braced frames”, *Journal of Constructional Steel Research*, **64**(6), pp. 607-623 (2008).
6. Clark, K.A. “Experimental performance of multi-story X-braced SCBF systems” PhD Dissertation, University of Washington (2009).
 7. Asgarian, B. and Moradi, S. “Seismic response of steel braced frames with shape memory alloy braces”, *Journal of Constructional Steel Research*, **67**(1), pp. 65-74 (2011).
 8. Yoo, J.H., Roeder, C.W. and Lehman, D.E. “Simulated behavior of multi-story X-braced frames”, *Engineering Structures*, **31**(1), pp. 182-197 (2009).
 9. Zhang, W., Huang, M., Zhang, Y. and Sun, Y. “Cyclic behavior studies on I-section inverted V-braces and their gusset plate connections”, *Journal of Constructional Steel Research*, **67**(3), pp. 407-420 (2011).
 10. Yoo, J.H., Roeder, C.W. and Lehman, D.E. “Analytical performance simulation of special concentrically braced frames”, *Journal of Structural Engineering*, **134**(6), pp. 881-889 (2008).
 11. Berman, J.W. and Bruneau, M. “Experimental and analytical investigation of tubular links for eccentrically braced frames”, *Engineering Structures*, **29**(8), pp. 1929-1938 (2007).
 12. Ferrario, F. “Analysis and modelling of the seismic behaviour of high ductility steel-concrete composite structures”, PhD Dissertation, University of Trento, Italy (2004).
 13. Ye, Y., Hajjar, J.F., Dexter, R.D., Prochnow, S.C. and Cotton, S.C. “Nonlinear analysis of continuity plate and doubler plate details in steel moment frame connections”, Msc Thesis, University of Minnesota (2000).
 14. Abaqus analysis user's manual, III (2009).
 15. Bari, S. and Hassan, T. “Anatomy of coupled constitutive models for ratcheting simulation”, *International Journal of Solids and Structures*, **16**(3-4), pp. 381-409 (2000).
 16. Sazmand, E. and Aghakouchak, A. “Modeling the panel zone in steel mr frames composed of built-up columns”, *Journal of Constructional Steel Research*, **77**, pp. 54-68 (2012).
 17. ATC-24, *Guidelines for Cyclic Seismic Testing of Components of Steel Structures for Buildings*, Applied Technology Council, Redwood City, Report No. ATC-24, CA (1992).
 18. Krawinkler, H., Gupta, A., Medina, R., and Luco, N., *Development of Loading Histories for Testing of Steel Beam-to-Column Assemblies*, SAC Background Report SAC/BD-00/10 (2000-a).
 19. Shabani, M. “Ultra low cycle fatigue life estimation of wrimkled energy dissipators”, MSc Thesis, Tarbiat Modares University (2010) (in Persian).
 20. Kanvinde, A.M. “Micromechanical simulation of earthquake-induced fracture in steel structures”, PhD Dissertation, Stanford University (2004).

هر فولاد استفاده می شوند.

مقادیر تنش - کرنش خمیری که به صورت پر رنگ نمایش داده شده‌اند، تنش حقیقی-کرنش خمیری حقیقی نظری تنش بیشینه‌ی مهندسی هستند.

ب) ظرفیت استهلاک انرژی فولادهای مورد مطالعه در چرخه‌های ابتداً بارگذاری، به دلیل مقدار پایین جریان خمیری، اعداد مربوط به درصد اختلاف چندان قابل اعتنا نیست.

پیوست

الف) مشخصات خمیری فولادهای مورد مطالعه

در جدول ۱(الف) مقادیر تنش-کرنش خمیری هر یک از فولادهای مورد مطالعه ارائه شده است. همچنین داده‌هایی که به صورت پر رنگ مشخص شده‌اند، مربوط به تعریف سخت شدگی خطی پویا و همسان‌گرد هستند. برای تعریف سخت شدگی ترکیبی، غیرخطی پویا و غیرخطی همسان‌گرد نوع اول تمامی داده‌های ارائه شده برای

جدول ۱(الف) - مقادیر منحنی تنش حقیقی کرنش خمیری فولادهای مورد مطالعه در نوشتار.

| [۲۰] JW۵۰ | [۲۰] JP۵۰ | [۲۰] AP۱۱۰ | [۲۰] AP۵۰ | [۲۰] AW۵۰ | [۱۹] IR-ST۳۷ |
|---------------|--------------|-----------------|--------------|---------------|---------------|
| کرنش خمیری | تنش (MPa) | کرنش الخمیری | تنش (MPa) | کرنش خمیری | کرنش خمیری |
| ۰,۰۰۰ | ۳۱۰ | ۰,۰۰۰ | ۳۱۰ | ۰,۰۰۰ | ۲۸۱ |
| ۰,۰۲۰ | ۷۲۴ | ۰,۰۳۶ | ۵۴۷ | ۰,۰۳۶ | ۳۵۳ |
| ۰,۰۴۳ | ۵۱۳ | ۰,۰۸۱ | ۵۵۴ | ۰,۰۸۱ | ۴۲۳ |
| ۰,۱۰۶ | ۵۷۳ | ۰,۱۳۶ | ۵۸۷ | ۰,۱۰۶ | ۴۹۵ |
| ۰,۶۰۰ | ۶۸۹ | ۱,۳۳۰ | ۶۱۴ | ۰,۱۳۶ | ۵۳۲ |
| ۲,۳۳۰ | ۷۸۶ | ۲,۳۳۰ | ۹۱۰ | ۱,۳۳۰ | ۵۴۱ |
| ۲,۳۳۰ | ۹۱۰ | ۲,۳۳۰ | ۹۲۴ | ۲,۳۳۰ | ۸۰۰ |
| | | | | | |
| | | | | | |

جدول ۱ ب) شماره‌ی چرخه‌ی شروع ترک با فرض سطح شروع ترک در مدل CH.

| شماره چرخه | | | | | | | | | | | | مدل | نام | | | | | | | | | | |
|--------------------|-----|-----|-----|-----|-----|---------------------|-----|-----|-----|-----|----|----------|-------|-----|-----|-----|-----|-----|----|----|-----|------|------------------------|
| بارگذاری نزدیک گسل | | | | | | بارگذاری دور از گسل | | | | | | سخت شدگی | فولاد | | | | | | | | | | |
| ۴۴ | ۴۳ | ۴۲ | ۴۱ | ۴۰ | ۲۹ | ۲۷ | ۲۵ | ۲۳ | ۲۰ | ۱۵ | ۱۰ | ۵ | ۲۰ | ۲۵ | ۲۸ | ۳۰ | ۳۴ | ۳۶ | ۳۷ | ۳۰ | ۲۸ | ۲۵ | ۲۰ |
| ۵۴۱ | ۴۹۸ | ۴۱۳ | ۳۴۲ | ۲۷۷ | ۲۲۵ | ۱۴۳ | ۹۲ | ۶۹ | ۶۳ | ۵۸ | ۵۶ | ۲۸ | ۴۸۰ | ۴۲۷ | ۳۵۳ | ۲۸۳ | ۲۱۸ | ۱۶۶ | ۸۶ | ۳۶ | ۶ | ۰ | پیش بینی مدل (KN.m) CH |
| ۳ | ۳ | ۲ | ۰ | -۲ | -۳ | -۷ | -۱۰ | -۱۰ | -۶ | -۵ | -۴ | -۶ | ۷ | ۷ | ۶ | ۵ | ۴ | ۴ | ۲ | ۰ | -۷ | -۱۸ | IH-T1 |
| ۱ | ۱ | ۰ | -۱ | -۲ | -۳ | -۷ | -۱۰ | -۱۰ | -۶ | -۵ | -۴ | -۶ | ۵ | ۵ | ۵ | ۴ | ۴ | ۳ | ۲ | ۰ | -۷ | -۱۸ | IH-T2 |
| ۴ | ۴ | ۴ | ۴ | ۳ | ۲ | ۱ | ۰ | ۰ | ۱ | ۱ | ۲ | ۱ | ۶ | ۶ | ۶ | ۶ | ۵ | ۵ | ۴ | ۴ | ۴ | ۵ | LIH |
| -۱۴ | -۱۳ | -۱۰ | -۸ | -۵ | -۲ | ۵ | ۱۳ | ۱۶ | ۱۰ | ۹ | ۴ | ۷ | -۱۷ | -۱۶ | -۱۵ | -۱۳ | -۱۱ | -۹ | -۵ | ۰ | ۱۰ | ۱۰ | LKH |
| -۱۵ | -۱۴ | -۱۲ | -۱۰ | -۷ | -۵ | ۲ | ۹ | ۱۳ | ۷ | ۶ | ۲ | ۵ | -۱۸ | -۱۸ | -۱۶ | -۱۵ | -۱۳ | -۱۱ | -۸ | -۴ | ۵ | ۵ | NLKH |
| ۵۱۸ | ۴۷۶ | ۳۹۴ | ۳۲۵ | ۲۸۲ | ۲۱۱ | ۱۳۲ | ۸۵ | ۶۴ | ۵۸ | ۵۳ | ۵۲ | ۲۶ | ۴۵۹ | ۴۱۸ | ۳۳۶ | ۲۶۸ | ۲۰۴ | ۱۵۵ | ۷۶ | ۲۹ | ۳ | ۰ | پیش بینی مدل (KN.m) CH |
| ۴ | ۳ | ۰ | -۲ | -۵ | -۷ | -۱۳ | -۱۸ | -۱۷ | -۱۲ | -۱۰ | -۹ | -۱۰ | ۸ | ۸ | ۶ | ۵ | ۴ | ۳ | ۱ | ۰ | ۰ | -۴ | IH-T1 |
| ۴ | ۳ | ۰ | -۲ | -۵ | -۷ | -۱۳ | -۱۸ | -۱۷ | -۱۲ | -۱۰ | -۹ | -۱۰ | ۸ | ۸ | ۶ | ۵ | ۴ | ۳ | ۱ | ۰ | ۰ | -۴ | IH-T2 |
| ۵ | ۵ | ۴ | ۳ | ۳ | ۲ | ۱ | -۱ | -۱ | ۰ | ۰ | ۰ | ۰ | ۵ | ۵ | ۴ | ۳ | ۳ | ۲ | ۱ | ۱ | ۱ | ۰ | LIH |
| -۷ | -۶ | -۵ | -۴ | -۳ | -۱ | ۲ | ۸ | ۷ | ۴ | ۴ | ۲ | ۳ | -۸ | -۸ | -۷ | -۶ | -۵ | -۵ | -۳ | ۰ | ۳ | ۲ | LKH |
| -۶ | -۶ | -۵ | -۴ | -۲ | -۱ | ۳ | ۷ | ۸ | ۴ | ۴ | ۲ | ۳ | -۸ | -۷ | -۷ | -۶ | -۵ | -۵ | -۴ | -۲ | ۱ | ۴ | NLKH |
| ۴۵۴ | ۴۱۳ | ۳۳۱ | ۲۶۶ | ۲۰۶ | ۱۶۲ | ۹۶ | ۶۰ | ۴۶ | ۴۳ | ۴۰ | ۴۰ | ۲۱ | ۴۱۱ | ۳۷۱ | ۲۸۹ | ۲۲۴ | ۱۸۴ | ۱۲۰ | ۵۳ | ۱۷ | ۲ | ۰ | پیش بینی مدل (KN.m) CH |
| ۱۰ | ۱۰ | ۹ | ۹ | ۸ | ۷ | ۱ | -۵ | -۵ | ۱ | ۴ | ۶ | ۳ | ۱۵ | ۱۶ | ۱۷ | ۱۸ | ۲۰ | ۲۲ | ۳۰ | ۴۳ | ۶۳ | ۳۰ | IH-T1 |
| ۹ | ۹ | ۹ | ۸ | ۷ | ۶ | ۱ | -۵ | -۵ | ۱ | ۴ | ۶ | ۳ | ۱۴ | ۱۵ | ۱۶ | ۱۸ | ۲۰ | ۲۲ | ۳۰ | ۴۳ | ۶۳ | ۳۰ | IH-T2 |
| ۱۸ | ۱۹ | ۲۱ | ۲۲ | ۲۳ | ۲۴ | ۲۴ | ۲۰ | ۱۷ | ۲۱ | ۲۲ | ۲۳ | ۱۷ | ۲۱ | ۲۲ | ۲۴ | ۲۷ | ۳۰ | ۲۴ | ۴۵ | ۶۳ | ۹۹ | ۵۶ | LIH |
| ۴ | ۶ | ۱۱ | ۱۵ | ۲۱ | ۲۶ | ۳۸ | ۴۶ | ۴۳ | ۲۶ | ۳۵ | ۳۲ | ۲۸ | ۱۴ | ۱۵ | ۱۶ | ۱۸ | ۲۰ | ۲۲ | ۳۰ | ۴۳ | ۶۳ | ۳۰ | LKH |
| -۲ | -۱ | -۱ | ۰ | ۱ | ۱ | ۳ | ۲ | ۳ | ۲ | ۲ | ۱ | ۱ | ۲۱ | ۲۲ | ۲۴ | ۲۷ | ۳۰ | ۳۴ | ۴۵ | ۶۳ | ۹۹ | ۵۶ | NLKH |
| ۳۶۵ | ۳۲۶ | ۲۴۹ | ۱۸۹ | ۱۳۶ | ۱۰۰ | ۴۹ | ۲۸ | ۲۲ | ۲۲ | ۲۱ | ۲۱ | ۱۴ | ۳۴۰ | ۳۰۱ | ۲۲۳ | ۱۶۴ | ۱۱۱ | ۷۴ | ۲۴ | ۴ | ۰ | ۰ | پیش بینی مدل (KN.m) CH |
| ۱ | ۱ | -۱ | -۳ | -۵ | -۶ | -۶ | -۳ | -۲ | -۲ | -۱ | -۱ | ۰ | ۳ | ۳ | ۱ | ۰ | -۲ | -۲ | -۲ | -۱ | -۱ | ۰ | IH-T1 |
| ۱ | ۱ | -۱ | -۳ | -۵ | -۶ | -۶ | -۳ | -۲ | -۲ | -۱ | -۱ | ۰ | ۳ | ۳ | ۱ | ۰ | -۲ | -۲ | -۲ | -۱ | -۱ | ۰ | IH-T2 |
| ۳ | ۲ | ۲ | ۲ | ۱ | ۱ | ۱ | ۲ | ۲ | ۲ | ۲ | ۱ | ۴ | ۳ | ۳ | ۲ | ۲ | ۲ | ۲ | ۲ | ۲ | ۱ | ۰ | LIH |
| ۳ | ۲ | ۲ | ۲ | ۲ | ۲ | ۲ | ۲ | ۲ | ۲ | ۲ | ۱ | ۳ | ۳ | ۳ | ۲ | ۲ | ۲ | ۲ | ۲ | ۲ | ۱ | ۰ | LKH |
| ۰ | ۰ | ۰ | ۰ | -۱ | -۱ | -۱ | -۱ | ۰ | ۰ | ۰ | ۰ | ۰ | ۰ | ۰ | ۰ | ۰ | ۰ | ۰ | ۰ | ۰ | ۰ | ۰ | NLKH |
| ۴۷۸ | ۴۳۷ | ۳۵۴ | ۲۸۷ | ۲۲۶ | ۱۸۰ | ۱۰۹ | ۷۰ | ۵۴ | ۵۰ | ۴۶ | ۴۵ | ۲۲ | ۴۳۰ | ۳۸۹ | ۳۰۶ | ۲۲۹ | ۱۷۹ | ۱۳۲ | ۶۲ | ۲۲ | ۳ | ۰ | پیش بینی مدل (KN.m) CH |
| ۶ | ۶ | ۶ | ۵ | ۴ | ۳ | -۳ | -۹ | -۹ | -۴ | -۱ | ۱ | -۲ | ۱۱ | ۱۲ | ۱۳ | ۱۴ | ۱۵ | ۱۷ | ۲۱ | ۲۹ | ۴۱ | ۲۶ | IH-T1 |
| ۶ | ۶ | ۶ | ۵ | ۴ | ۳ | -۳ | -۹ | -۹ | -۴ | -۱ | ۱ | -۲ | ۱۱ | ۱۲ | ۱۳ | ۱۴ | ۱۵ | ۱۷ | ۲۱ | ۲۹ | ۴۱ | ۲۶ | IH-T2 |
| ۹ | ۱۰ | ۱۴ | ۱۷ | ۲۱ | ۲۴ | ۳۲ | ۳۵ | ۳۴ | ۲۹ | ۲۸ | ۲۶ | ۲۲ | ۵ | ۶ | ۹ | ۱۲ | ۱۶ | ۲۰ | ۳۰ | ۴۷ | ۸۹ | ۶۵ | LIH |
| ۰ | ۱ | ۶ | ۱۰ | ۱۵ | ۲۰ | ۳۱ | ۳۹ | ۳۹ | ۲۱ | ۳۰ | ۲۶ | ۲۵ | -۴ | -۳ | ۱ | ۵ | ۹ | ۱۴ | ۲۶ | ۴۵ | ۹۱ | ۶۶ | LKH |
| -۶ | -۵ | -۴ | -۳ | -۱ | ۰ | ۳ | ۶ | ۶ | ۳ | ۲ | ۲ | -۷ | -۷ | -۶ | -۵ | -۴ | -۳ | ۰ | ۳ | ۱۱ | ۱۲ | NLKH | |
| ۴۹۶ | ۴۵۳ | ۳۶۶ | ۲۹۶ | ۲۲۲ | ۱۸۳ | ۱۱۰ | ۶۹ | ۵۳ | ۵۰ | ۴۶ | ۴۵ | ۲۲ | ۴۵۰ | ۴۰۷ | ۳۲۰ | ۲۵۰ | ۱۸۶ | ۱۳۸ | ۶۴ | ۲۲ | ۲ | ۰ | پیش بینی مدل (KN.m) CH |
| ۴ | ۴ | ۴ | ۳ | ۲ | ۱ | -۳ | -۸ | -۸ | -۴ | -۲ | -۱ | -۲ | ۸ | ۸ | ۸ | ۹ | ۱۰ | ۱۲ | ۱۶ | ۲۴ | ۴۴ | ۵۶ | IH-T1 |
| ۴ | ۴ | ۴ | ۳ | ۲ | ۱ | -۳ | -۸ | -۸ | -۴ | -۲ | -۱ | -۲ | ۸ | ۸ | ۸ | ۹ | ۱۰ | ۱۲ | ۱۶ | ۲۴ | ۴۴ | ۵۶ | IH-T2 |
| ۴ | ۵ | ۹ | ۱۳ | ۱۷ | ۲۲ | ۲۲ | ۲۸ | ۲۷ | ۲۰ | ۲۸ | ۲۵ | ۲۴ | -۱ | ۰ | ۳ | ۶ | ۱۰ | ۱۴ | ۲۶ | ۴۵ | ۱۰۵ | ۱۱۵ | LIH |
| -۴ | -۲ | ۳ | ۷ | ۱۲ | ۱۸ | ۲۱ | ۴۱ | ۴۱ | ۲۲ | ۳۰ | ۲۶ | ۲۵ | -۸ | -۷ | -۳ | ۰ | ۵ | ۹ | ۲۲ | ۴۴ | ۱۰۶ | ۱۱۷ | LKH |
| -۸ | -۷ | -۴ | -۲ | ۲ | ۶ | ۱۴ | ۲۱ | ۲۱ | ۱۵ | ۱۴ | ۱۱ | ۱۱ | -۱۲ | -۱۱ | -۹ | -۶ | -۳ | ۰ | ۸ | ۲۰ | ۵۸ | ۸۵ | NLKH |